# ANALISIS GLOBAL MODEL PREDATOR-PREY **DENGAN PERLINDUNGAN PREY**

**SKRIPSI** 

# BRAWIUAL

Oleh: RAHIL AS SAKINAH 0610940049-94



PROGRAM STUDI MATEMATIKA JURUSAN MATEMATIKA FAKULTAS MATEMATIKA DAN ILMU PENGETAHUAN ALAM UNIVERSITAS BRAWIJAYA **MALANG** 2011

# ANALISIS GLOBAL MODEL PREDATOR-PREY DENGAN PERLINDUNGAN PREY

## **SKRIPSI**

Sebagai salah satu syarat untuk memperoleh gelar Aatema. Sarjana Sains dalam bidang Matematika

0610940049-94

oleh: RAHIL AS SAKINAH



PROGRAM STUDI MATEMATIKA JURUSAN MATEMATIKA FAKULTAS MATEMATIKA DAN ILMU PENGETAHUAN ALAM UNIVERSITAS BRAWIJAYA **MALANG** 2011

#### LEMBAR PENGESAHAN SKRIPSI

# ANALISIS GLOBAL MODEL PREDATOR-PREY DENGAN PERLINDUNGAN PREY

oleh: Rahil As Sakinah 0610940049-94

Setelah dipertahankan di depan Majelis Penguji pada tanggal 11 Agustus 2011 dan dinyatakan memenuhi syarat untuk memperoleh gelar Sarjana Sains dalam bidang Matematika

**Dosen Pembimbing I** 

**Dosen Pembimbing II** 

Dr. Agus Suryanto, M.Sc. NIP. 196908071994121001 Drs. Moh. Muslikh, M.Si. NIP. 195910311989121001

Mengetahui, Ketua Jurusan Matematika Fakultas MIPA Universitas Brawijaya

<u>Dr. Abdul Rouf Alghofari, M.Sc.</u> NIP. <u>196709071992031001</u>

#### LEMBAR PERNYATAAN

Saya yang bertanda tangan di bawah ini :

Nama : Rahil As Sakinah NIM : 0610940049-94 Jurusan : Matematika

Penulis Skripsi berjudul : Analisis Global Model Predator-

Prey dengan Perlindungan Prey

# Dengan ini menyatakan bahwa:

- 1. isi skripsi yang saya buat benar-benar karya sendiri dan tidak menjiplak karya orang lain, selain nama-nama yang termaktub di isi dan tertulis di daftar pustaka skripsi ini,
- 2. apabila di kemudian hari ternyata skripsi yang saya tulis terbukti hasil jiplakan, maka saya bersedia menanggung segala resiko yang akan saya terima.

Demikian pernyataan ini dibuat dengan segala kesadaran.

Malang, 11 Agustus 2011 Yang menyatakan,

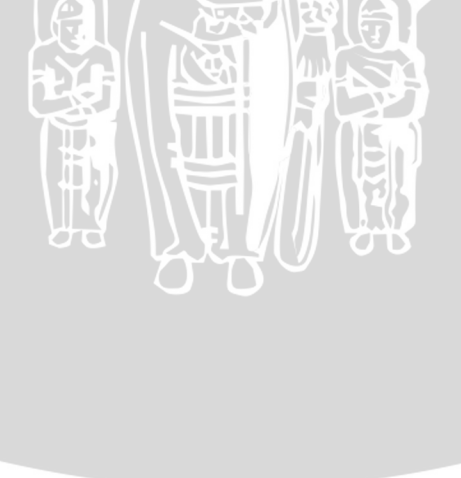
> (Rahil As Sakinah) NIM. 0610940049

# ANALISIS GLOBAL MODEL PREDATOR-PREY DENGAN PERLINDUNGAN PREY

#### **ABSTRAK**

Dalam skripsi ini dibahas model predator-prey dengan perlindungan prey. Perlindungan pada prey dilakukan terhadap sejumlah prey sehingga tidak dapat ditemukan oleh predator. Interaksi predator-prey dengan perlindungan prey dimodelkan sebagai sistem persamaan diferensial biasa nonlinear dengan dua variabel, yaitu predator dan prey. Parameter-parameter yang digunakan antara lain tingkat pertumbuhan prey, daya maksimum prey, tingkat kematian predator, tingkat interaksi predator dan prey, tingkat emigrasi, dan jumlah prey yang berlindung. Berdasarkan hasil analisis diperoleh tiga titik kesetimbangan, yaitu titik kesetimbangan  $E_0$ ,  $E_1$ , dan  $E_2$ . Selanjutnya, analisis menunjukkan bahwa jika titik kesetimbangan  $E_2$  adalah stabil global, maka titik kesetimbangan  $E_0$  dan  $E_1$  adalah tidak stabil.

Kata kunci: model predator-prey, perlindungan, stabil global.



# GLOBAL ANALYSIS OF PREDATOR-PREY MODEL WITH SOME COVER ON PREY SPECIES

#### **ABSTRACT**

This final project discusses a predator-prey model with some cover on prey species. Cover of the prey is the number of prey population to make them inaccessible by predator. Predator-prey interaction with some cover on prey species is modeled as a nonlinear differential equation system of two variables, namely predator and prey. The parameters involved in the system are growth rate of prey, carrying capacity, date rate of predator, interaction rate of predator and prey, emigration rate and the number of prey population who finds some cover. Based on the analysis, the model has three equilibrium points, namely  $E_0$ ,  $E_1$ , and  $E_2$ . Furthermore, analysis shows that if  $E_2$  is globally stable, then  $E_0$  and  $E_1$  are unstable.

**Keyword**: predator-prey model, cover, globally stable.

#### KATA PENGANTAR

Segala puji dan syukur ke hadirat Allah SWT yang telah memberikan bimbingan dan petunjuk-Nya, sehingga penulis dapat menyelesaikan skripsi yang berjudul "Analisis Global Model Predator-Prey dengan Perlindungan Prey" dengan baik dan lancar. Shalawat serta salam semoga selalu tercurahkan kepada Nabi Muhammad SAW sebagai suri tauladan bagi penulis.

Skripsi ini tidak dapat diselesaikan dengan baik tanpa bantuan, bimbingan serta motivasi dari berbagai pihak. Oleh karena itu, penulis ingin menyampaikan terima kasih kepada:

- 1. Dr. Agus Suryanto, M.Sc., selaku pembimbing I sekaligus dosen penasehat akademik atas segala bimbingan, nasihat, motivasi serta kesabaran yang telah diberikan selama penulisan skripsi ini dan selama penulis menempuh kuliah.
- 2. Drs. M. Muslikh, M.Si., selaku pembimbing II atas segala bimbingan, nasihat, motivasi serta kesabaran yang telah diberikan selama penulisan skripsi ini.
- 3. Dr. Wuryansari Muharini K., M.Si., Drs. Marsudi, M.S., dan Kwardiniya A., S.Si., M.Si., selaku dosen penguji atas segala saran yang diberikan untuk perbaikan skripsi ini.
- 4. Seluruh bapak/ibu dosen Matematika yang telah memberikan bekal dan ilmu pengetahuan kepada penulis, serta segenap staf dan karyawan TU Jurusan Matematika atas segala bantuannya.
- 5. Mama, papa, Mas Alfi, dan Adek Mia tersayang atas segala doa, kasih sayang, dukungan, dan nasihat yang telah diberikan.
- 6. Indrawan Nugrahanto atas kesabaran, motivasi, nasihat dan semangat yang telah diberikan.
- 7. Keluarga besar Matematika 2006 dan semua pihak yang tidak dapat penulis sebutkan satu persatu. Terimakasih.

Penulis menyadari bahwa dalam skripsi ini masih banyak kekurangan, untuk itu penulis sangat mengharapkan kritik dan saran melalui email penulis <u>stroberinasakinah@yahoo.com</u>. Akhir kata, semoga skripsi ini dapat bermanfaat bagi semua pihak.

Malang, 11 Agustus 2011

Penulis

# DAFTAR ISI

|   | Halaman |
|---|---------|
| HALAMAN JUDUL   | i       |
| LEMBAR PENGESAHAN                                     |         |
| LEMBAR PERNYATAAN                                     |         |
| ABSTRAK   | vii     |
| ABSTRACTKATA PENGANTAR                                | ix.     |
| KATA PENGANTAR  | . xi    |
| DAFTAR ISI  | xiii    |
| DAFTAR GAMBAR   |         |
| DAFTAR TABEL.   | . xvii  |
|   |         |
| BAB I PENDAHULUAN                                     | . 1     |
| 1.1. Latar Belakang                                   | . 1     |
| 1.2. Rumusan Masalah                                  | . 2     |
| 1.3. Batasan Masalah                                  | . 2     |
| 1.4. Tujuan   | . 2     |
| DAD H TINI AHAN DUSTAYA                               | 2       |
| BAB II TINJAUAN PUSTAKA  2.1. Sistem Dinamik          | 3       |
| 2.1. Sistem Dinamik                                   |         |
| 2.3. Sistem Otonomus                                  |         |
| 2.4. Titik Kesetimbangan                              |         |
| 2.5. Kestabilan Titik Kesetimbangan                   |         |
| 2.6. Linearisasi                                      |         |
| 2.7. Orbit Periodik                                   |         |
| 2.8. Kriteria Dulac                                   | . 8     |
| 2.9. Teorema Poincare-Bendixson                       | . 8     |
| 2.10. Model Logistik                                  | . 8     |
| 2.10. Model Logistik                                  | 9       |
| TO DO   |         |
| BAB III HASIL DAN PEMBAHASAN                          | . 11    |
| 3.1. Formulasi Model                                  | . 11    |
| 3.1.1.Laju Perubahan Paramecium caudatum (Prey)       | . 11    |
| 3.1.2.Laju Perubahan Didinium nasutum (Predator)      | . 12    |
| 3.2. Analisis Model Predator-Prey dengan Perlindungan | 14      |
| 3.2.1.Titik Kesetimbangan                             | . 14    |

| 3.2.2. Kestabilan Titik Kesetimbangan        | 16 |
|--|----|
| 3.2.2.1.Kestabilan Titik Kesetimbangan $E_0$ | 17 |
| 3.2.2.2.Kestabilan Titik Kesetimbangan $E_1$ | 18 |
| 3.2.2.2.Kestabilan Titik Kesetimbangan $E_2$ | 20 |
| 3.2.2.4.Kestabilan Global                    | 21 |
| 3.3. Simulasi Numerik                        | 23 |
|  |    |
| BAB IV KESIMPULAN                            | 31 |
| CITAS BDA.                                   |    |
| DAFTAR PUSTAKA                               | 33 |
|  |    |
| LAMPIRAN                                     | 35 |

# DAFTAR GAMBAR

|             | Ha   | laman |
|-------------|--|-------|
| Gambar 3.1  | Diagram kompartemen model predator-prey dengan perlindungan prey                         | 11    |
| Gambar 3.2  | Solusi numerik menuju $E_0(0,0)$ dengan $k = 0$ , untuk nilai awal (200,180)             |       |
| Gambar 3.3  | Solusi numerik menuju $E_0(0,0)$ dengan $k = 30$ , untuk nilai awal (200,180)            | 24    |
| Gambar 3.4  | Solusi numerik menuju $E_1$ (266.667,0) dengan $k = 0$ , dengan nilai awal               | 25    |
| Gambar 3.5  | (200,180)  | . 25  |
| Cambar 26   | $(200,180)F(N^*N^*) dengen$  | 25    |
|             | Solusi numerik menuju $E_2(N_1^*, N_2^*)$ dengan $k = 0$ , dengan nilai awal (200,180)   | 26    |
| Gambar 3.7  | Solusi numerik menuju $E_2(N_1^*, N_2^*)$ dengan $k = 30$ , dengan nilai awal (200,180)  | . 27  |
| Gambar 3.8  | Solusi numerik menuju $E_2(N_1^*, N_2^*)$ dengan $k = 50$ , dengan nilai awal (200,180)  |       |
| Gambar 3.9  | Potret phase $(N_1^*, N_2^*)$ dengan $k = 0$ dan beberapa nilai awal yang berbeda. Semua | . 20  |
| Gambar 3.10 | orbit menuju $E_2$ (220,28)  | 28    |
|             | beberapa nilai awal yang berbeda. Semua orbit menuju $E_2$ (220,28)                      | . 29  |

# DAFTAR TABEL

Halaman

| Tabel 2.1 | Kestabilan berdasarkan nilai eigennya         | 7  |
|-----------|---|----|
| Tabel 3.1 | Sifat-sifat titik kesetimbangan sistem (3.11) | 23 |



## BAB I PENDAHULUAN

# 1.1. Latar Belakang

Model *predator-prey* adalah salah satu penerapan matematika dalam bidang biologi. Model tersebut digunakan untuk mengetahui bagaimana interaksi antara populasi predator dan prey. Salah satu penggunaan model predator-prey adalah untuk melakukan studi empiris (Gause, 1934) antara Protozoans Paramecium caudatum (prey) dan Didinium nasutum (predator) pada medium tanaman sagu. studi tersebut mengakibatkan munculnya eksperimen, namun eksperimen-eksperimen tersebut sebagian besar menunjukkan hasil akhir yang sama yaitu Didinium nasutum memangsa Paramecium caudatum hingga populasi Paramecium caudatum habis. Kemudian dalam waktu tertentu Didinium nasutum tidak dapat meneruskan reproduksinya karena *Paramecium* caudatum sebagai sumber makanan utamanya telah habis. Dengan demikian kedua populasi akan menuju kepunahan.

Dalam upaya menghindari kepunahan kedua populasi tersebut, diperkenalkan perlindungan *prey* ke dalam sistem. Pada sistem dengan perlindungan ini *Paramecium caudatum* sebagai *prey* terkadang selamat, namun dalam kasus lain *Didinium casutum* sebagai *predator* mampu menyapu bersih semua *Paramecium caudatum* meskipun ada yang berlindung. Oleh karena itu dibutuhkan kajian teoritisnya. Pada hakekatnya masalah mendasar dalam ekologi adalah menentukan kondisinya, sehingga kedua populasi dapat terus hidup berdampingan. Mempelajari kestabilan dengan adanya perlindungan prey akan memberitahukan bahwa kondisi tersebut akan stabil di titik kesetimbangan tertentu.

Dalam skripsi ini dibahas model *predator-prey* yang terdiri dari dua populasi di atas, yaitu *Protozoans Paramecium caudatum* sebagai *prey*  $(N_1)$  dan *Didinium nasutum* sebagai *predato*  $(N_2)$ , serta adanya perlindungan *prey* (k), sehingga diperoleh suatu sistem persamaan diferensial biasa nonlinear. Kemudian dipelajari perilaku kualitatifnya, yaitu analisis sistem dinamik untuk menentukan titik kesetimbangan dan jenis kestabilannya. Selanjutnya dilakukan simulasi numerik untuk mengetahui perilaku solusi model tersebut.

#### 1.2. Rumusan Masalah

Berdasarkan latar belakang di atas, pokok permasalahan dalam penulisan skripsi ini adalah sebagai berikut.

- 1. Bagaimana konstruksi model *predator-prey* dengan perlindungan pada *prey*,
- 2. Bagaimana titik kesetimbangan model *predator-prey* dengan perlindungan *prey*,
- 3. Bagaimana kestabilan titik kesetimbangan model *predator- prey* dengan perlindungan *prey*.

#### 1.3. Batasan Masalah

Penulisan skripsi ini difokuskan dengan batasan, yaitu Paramecium caudatum (prey) merupakan satu-satunya makanan Didinium nasutum (predator).

# 1.4. Tujuan

Tujuan penulisan skripsi ini adalah:

- 1. mengkonstruksi model *predator-prey* dengan perlindungan *prey*,
- 2. menentukan titik kesetimbangan model *predator-prey* dengan perlindungan *prey*,
- 3. menentukan kestabilan titik kesetimbangan model *predator- prey* dengan perlindungan *prey*.

# BAB II TINJAUAN PUSTAKA

#### 2.1. Sistem Dinamik

Sistem dinamik adalah suatu sistem yang dapat diketahui kondisinya di masa yang akan datang jika diberikan kondisi pada masa sekarang atau pada masa yang lalu.

(Naggle dan Edward, 1993).

#### 2.2. Sistem Persamaan Diferensial

Sistem persamaan diferensial biasa berdimensi n adalah suatu sistem yang memuat n persamaan diferensial biasa, dengan n variabel tak bebas yang belum diketahui, dan  $n \in \square$ ,  $n \ge 2$ . Diasumsikan persamaan diferensial yang satu dengan yang lain saling terkait dan konsisten.

(Finizio dan Ladas, 1982).

Bentuk umum sistem persamaan diferensial biasa linear berdimensi *n* adalah

$$\frac{dx_{1}}{dt} = g_{1}(t, x_{1}, x_{2}, ..., x_{n})$$

$$\frac{dx_{2}}{dt} = g_{2}(t, x_{1}, x_{2}, ..., x_{n})$$

$$\vdots$$

$$\frac{dx_{n}}{dt} = g_{n}(t, x_{1}, x_{2}, ..., x_{n})$$
(2.1)

dengan  $x_1, x_2, \ldots, x_n$  adalah variabel bebas dan t adalah variabel terikat, sehingga  $x_1 = x_1(t), x_2 = x_2(t), \ldots, x_n = x_n(t)$ , dimana  $\frac{dx_n}{dt}$  merupakan derivatif fungsi  $x_n$  terhadap t, dan  $g_n$  adalah fungsi yang bergantung pada variabel  $x_1, x_2, \ldots, x_n$  dan t.

(Robinson, 2004).

#### 2.3. Sistem Otonomus

Sistem otonomus adalah suatu sistem persamaan diferensial yang berbentuk seperti persamaan (2.1) dengan fungsi  $g_1, g_2, ..., g_n$ tidak bergantung terhadap waktu t secara eksplisit.

(Finizio dan Ladas, 1982)

Suatu sistem dikatakan sebagai sistem otonomus nonlinear apabila pada sistem tersebut terdapat perkalian antar variabel tak BAWIR bebas atau dengan turunannya.

# 2.4. Titik Kesetimbangan

Pandang sistem otonomus

$$\frac{dx}{dt} = f(x, y)$$

$$\frac{dy}{dt} = g(x, y).$$
(2.2)

Titik  $(x^*, y^*)$  merupakan titik kesetimbangan sistem (2.2) jika  $f(x^*, y^*) = 0$  dan  $g(x^*, y^*) = 0$ . Titik kesetimbangan merupakan solusi sistem (2.2) yang bersifat konstan.

(Boyce dan DiPrima, 2001).

# 2.5. Kestabilan Titik Kesetimbangan

Titik kesetimbangan ( $x^*, y^*$ ) sistem (2.2) dikatakan:

- stabil jika  $\forall \varepsilon > 0$ ,  $\exists \delta > 0$  sedemikian sehingga untuk setiap 1) x = x(t) dan y = y(t)dari sistem solusi memenuhi  $\|(x(0), y(0)) - (x^*, y^*)\| < \delta \text{ maka } \|(x(t), y(t)) - (x^*, y^*)\| < \varepsilon,$  $\forall t > 0$ .
- stabil asimtotik jika stabil dan  $\exists \delta_0$ ,  $0 < \delta_0 < \delta$ , sedemikian sehingga sebuah solusi x = x(t) dan y = y(t) yang memenuhi  $\|(x(t), y(t)) - (x^*, y^*)\| < \delta_0 \text{ bersifat } \lim_{t \to \infty} (x(t), y(t)) = (x^*, y^*)$
- tak stabil apabila tidak memenuhi kriteria pertama. 3) (Boyce dan DiPrima, 2001).

#### 2.6. Linearisasi

Jika diketahui sistem (2.2) adalah sistem otonomus nonlinear dan diasumsikan f dan g mempunyai turunan parsial yang kontinu di titik ( $x^*$ ,  $y^*$ ), maka deret Taylor fungsi f dan g di sekitar ( $x^*$ ,  $y^*$ ) adalah

$$f(x,y) = f(x^*,y^*) + \frac{\partial f(x^*,y^*)}{\partial x} (x-x^*) + \frac{\partial f(x^*,y^*)}{\partial y} (y-y^*) + \eta_1(x,y)$$
(2.3)

dan

$$g(x,y) = g(x^*,y^*) + \frac{\partial g(x^*,y^*)}{\partial x}(x-x^*) + \frac{\partial g(x^*,y^*)}{\partial y}(y-y^*) + \eta_2(x,y)$$
(2.4)

dengan  $\eta_1(x, y)$  dan  $\eta_2(x, y)$  adalah suku sisa.

Mengingat  $\frac{\partial x}{\partial t} = \frac{d(x - x^*)}{dt}$  dan  $\frac{\partial y}{\partial t} = \frac{d(y - y^*)}{dt}$ , persamaan

(2.2) dapat ditulis dalam bentuk matriks berikut

$$\frac{d}{dt}\begin{bmatrix} \left(x-x^*\right) \\ \left(y-y^*\right) \end{bmatrix} = \begin{bmatrix} f\left(x^*,y^*\right) \\ g\left(x^*,y^*\right) \end{bmatrix} + \begin{bmatrix} \frac{\partial f\left(x^*,y^*\right)}{\partial x} \left(x-x^*\right) + \frac{\partial f\left(x^*,y^*\right)}{\partial y} \left(y-y^*\right) \\ \frac{\partial g\left(x^*,y^*\right)}{\partial x} \left(x-x^*\right) + \frac{\partial g\left(x^*,y^*\right)}{\partial y} \left(y-y^*\right) \end{bmatrix} + \begin{bmatrix} \eta_1(x,y) \\ \eta_2(x,y) \end{bmatrix}$$

atau

$$\frac{d}{dt}\begin{bmatrix} \left(x-x^*\right) \\ \left(y-y^*\right) \end{bmatrix} = \begin{bmatrix} f\left(x^*,y^*\right) \\ g\left(x^*,y^*\right) \end{bmatrix} + \begin{bmatrix} \frac{\partial f\left(x^*,y^*\right)}{\partial x} & \frac{\partial f\left(x^*,y^*\right)}{\partial y} \\ \frac{\partial g\left(x^*,y^*\right)}{\partial x} & \frac{\partial g\left(x^*,y^*\right)}{\partial y} \end{bmatrix} \begin{bmatrix} x-x^* \\ y-y^* \end{bmatrix} + \begin{bmatrix} \eta_1(x,y) \\ \eta_2(x,y) \end{bmatrix}.$$

Karena  $f(x^*, y^*) = g(x^*, y^*) = 0$ , maka

$$\frac{d}{dt} \begin{bmatrix} \left(x - x^*\right) \\ \left(y - y^*\right) \end{bmatrix} = \begin{bmatrix} \frac{\partial f\left(x^*, y^*\right)}{\partial x} & \frac{\partial f\left(x^*, y^*\right)}{\partial y} \\ \frac{\partial g\left(x^*, y^*\right)}{\partial x} & \frac{\partial g\left(x^*, y^*\right)}{\partial y} \end{bmatrix} \begin{bmatrix} x - x^* \\ y - y^* \end{bmatrix} + \begin{bmatrix} \eta_1(x, y) \\ \eta_2(x, y) \end{bmatrix} (2.5)$$

dengan matriks 
$$J(x, y) = \begin{bmatrix} \frac{\partial f(x^*, y^*)}{\partial x} & \frac{\partial f(x^*, y^*)}{\partial y} \\ \frac{\partial g(x^*, y^*)}{\partial x} & \frac{\partial g(x^*, y^*)}{\partial y} \end{bmatrix}$$
(2.6)

disebut matriks Jacobi atau partial derivative matrix.

Jika dimisalkan  $u = x - x^*, v = y - y^*$ , maka persamaan (2.6) dapat di tulis sebagai

$$\begin{bmatrix}
\frac{du}{dt} \\
\frac{dv}{dt}
\end{bmatrix} = \begin{bmatrix}
\frac{\partial f(x^*, y^*)}{\partial x} & \frac{\partial f(x^*, y^*)}{\partial y} \\
\frac{\partial g(x^*, y^*)}{\partial x} & \frac{\partial g(x^*, y^*)}{\partial y}
\end{bmatrix} \begin{bmatrix} u \\ v \end{bmatrix} + \begin{bmatrix} \eta_1(x, y) \\ \eta_2(x, y) \end{bmatrix}.$$
(2.7)

Dan jika  $\overrightarrow{w} = (u, v)^T$ , maka persamaan (2.7) dapat di tulis dalam bentuk

$$\frac{d\vec{w}}{dt} = J\vec{w} + \vec{\eta}. \tag{2.8}$$

Bila (x, y) berada cukup dekat dengan  $(x^*, y^*)$ , (u, v) bernilai kecil, sehingga  $\|\vec{\eta}\| \le \|\vec{w}\|$ . Oleh karena itu,  $\vec{\eta}$  dapat diabaikan dan sistem nonlinear dapat dihampiri oleh sistem yang baru

$$\frac{dw}{dt} = J\dot{w}. (2.9)$$

Untuk  $x = x^*$  dan  $y = y^*$  diperoleh (u,v) = (0,0) sehingga sistem linear (2.9) memiliki titik kesetimbangan (u,v) = (0,0).

(Boyce dan DiPrima, 2005).

#### Teorema 2.1

- 1) Titik kesetimbangan sistem otonomus nonlinear bersifat stabil asimtotik jika titik kesetimbangan sistem yang dilinearkan bersifat stabil asimtotik.
- 2) Titik kesetimbangan sistem otonomus nonlinear bersifat tak stabil jika titik kesetimbangan sistem yang dilinearkan bersifat tak stabil,
- 3) Jika salah satu nilai eigen matriks bernilai nol dan yang lainnya mempunyai bagian riil negatif, maka titik kesetimbangannya bersifat stabil tetapi tidak asimtotik.

(Robinson, 2004).

Jenis kestabilan titik kesetimbangan ditentukan menggunakan nilai eigen J yaitu  $\lambda_1$  dan  $\lambda_2$ . Berdasarkan nilai eigennya, jenis kestabilan titik kesetimbangan sistem (2.2) dapat dilihat pada Tabel 2.1.

**Tabel 2.1.** Kestabilan berdasarkan nilai eigennya

| Nilai Eigen                           | Kestabilan             |
|---------------------------------------|------------------------|
| $\lambda_1 > \lambda_2 > 0$           | tidak stabil           |
| $\lambda_1 < \lambda_2 < 0$           | stabil asimtotik       |
| $\lambda_2 < 0 < \lambda_1$           | tidak stabil           |
| $\lambda_1 = \lambda_2 > 0$           | tidak stabil           |
| $\lambda_1 = \lambda_2 < 0$           | stabil asimtotik       |
| $\lambda_1, \lambda_2 = r \pm i\mu$   | の名が一門                  |
| r > 0                                 | tidak stabil           |
| r < 0                                 | stabil asimtotik       |
| $\lambda_1 = i\mu, \lambda_2 = -i\mu$ | tidak dapat ditentukan |

# 2.7. Orbit Periodik

Suatu solusi persamaan  $\frac{d\vec{x}}{dt} = f(\vec{x})$  disebut solusi periodik jika  $\vec{x}(t)$  memenuhi  $\vec{x}(t+T) = \vec{x}(t)$ , untuk semua t dan untuk semua konstanta tak negatif T. Dalam hal ini T disebut periode.

Perhatikan bahwa solusi periodik membentuk orbit tertutup pada bidang fase, sehingga disebut orbit periodik.

(Boyce dan DiPrima, 2005).

#### 2.8. Kriteria Dulac

Kriteria Dulac merupakan cara untuk menunjukkan bahwa tidak terdapat orbit periodik dalam suatu daerah di ruang fase. Misalkan diketahui lintasan sistem (2.2) dan diberikan sebuah daerah  $\Omega \subset \square^2$ . Jika dapat ditemukan fungsi *smooth* h(x,y) sedemikian sehingga

$$\frac{\partial}{\partial x}(hf) + \frac{\partial}{\partial y}(hg) \neq 0 \tag{2.10}$$

untuk semua  $x, y \in \Omega$  maka tidak terdapat orbit periodik yang terkandung sepenuhnya dalam  $\Omega$  dan h(x, y) disebut sebagai fungsi Dulac.

(Robinson, 2004).

#### 2.9. Teorema Poincare-Bendixson

#### Teorema 2.3

Misalkan D adalah daerah terbatas pada bidang xy dan sistem (2.2) adalah sistem dinamik dimana f dan g adalah kontinu dan diferensiabel. Jika trayektori sistem dinamik selalu berada pada D untuk semua  $t \ge 0$ , maka trayektori haruslah memenuhi satu dari tiga bentuk berikut.

- 1. Orbit tertutup,
- 2. Menuju orbit tertutup,
- 3. Menuju titik kesetimbangan pada  $t \rightarrow \infty$ .

(Richard, 2002).

# 2.10. Model Logistik

Model logistik atau model Verhulst atau kurva pertumbuhan logistik adalah sebuah model pertumbuhan populasi. Model tersebut dideskripsikan sebagai berikut:

$$\frac{dN}{dt} = rN\left(1 - \frac{N}{K}\right). \tag{2.11}$$

Konstanta r diasumsikan positif, dimana r adalah tingkat pertumbuhan intrinsik karena perbandingan tingkat pertumbuhan untuk N diperkirakan sama dengan r. Konstanta positif K menyatakan daya kapasitas lingkungan, yaitu kemampuan maksimum suatu populasi.

(Boyce dan DiPrima, 2005).

# 2.11. Model Predator-Prey

Persamaan diferensial biasa yang menggambarkan interaksi dua spesies (*Predator-Prey*) pertamakali digunakan oleh Volterra dan dikenal dengan nama model Lotka-Volterra.

Diberikan model sebagai berikut

$$\frac{dN}{dt} = N(a - bP)$$

$$\frac{dP}{dt} = P(cN - d)$$
(2.12)

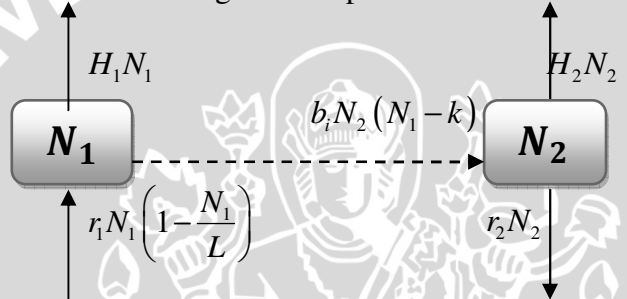
dengan a, b, c, dan d adalah konstanta positif. N(t) dan P(t) berturut-turut menyatakan jumlah populasi prey dan predator. Suku aN menyatakan pertumbuhan populasi prey tanpa adanya predator. Suku -bNP dan cNP menyatakan interaksi spesies, dimana populasi prey berkurang sedangkan predator diuntungkan dengan kondisi ini. Suku -dP menyatakan punahnya predator karena tidak adanya prey.

(Murray, 1993).

# BAB III HASIL DAN PEMBAHASAN

## 3.1. Formulasi Model

Dalam skripsi ini dibahas model *predator-prey* dengan adanya perlindungan *prey*, dimana *Protozoans Paramecium caudatum* sebagai *prey*  $(N_1)$  dan *Didinium nasutum* sebagai *predator*  $(N_2)$ . Perlindungan pada *Paramecium caudatum* dinotasikan dengan k. Model *predator-prey* tersebut digambarkan dalam diagram kompartemen berikut ini.



**Gambar 3.1.** Diagram kompartemen model *predator- prey* dengan perlindungan *prey*.

# 3.1.1. Laju Perubahan Paramecium caudatum (Prey)

Model sederhana yang menggambarkan pertumbuhan logistik *Paramecium caudatum* berdasarkan persamaan (2.11) adalah

$$\frac{dN_1}{dt} = r_1 N_1 \left( 1 - \frac{N_1}{L} \right) \tag{3.1}$$

dimana  $N_1$  adalah banyaknya populasi *Paramecium caudatum*, L menyatakan kapasitas maksimum, dan  $r_1$  menyatakan tingkat pertumbuhan intrinsik populasi *Paramecium caudatum* sesuai dengan model logistik di atas.

Banyaknya *Paramecium caudatum* berkurang disebabkan adanya kematian akibat interaksi antara *Paramecium caudatum* dan *Didinium nasutum*. Dalam hal ini *Paramecium caudatum* dimangsa oleh *Didinium nasutum*, sehingga laju perubahan *Paramecium caudatum* berbanding lurus dengan berkurangnya *Paramecium caudatum* karena adanya interaksi antara *Paramecium caudatum* dan *Didinium nasutum* (b<sub>1</sub>), yaitu

$$\frac{dN_1}{dt} = -b_1 N_1 N_2. {(3.2)}$$

Jika k adalah banyaknya individu  $Paramecium\ caudatum\ yang$  berlindung dan tidak dapat ditemukan oleh  $Didinium\ nasutum$ , maka  $Didinium\ nasutum\ bisa\ menyerang\ Paramecium\ caudatum\ sebanyak (<math>N_1-k$ ). Oleh karena itu, persamaan (3.2) berubah menjadi

$$\frac{dN_1}{dt} = -b_1 N_2 (N_1 - k). {(3.3)}$$

Jumlah Paramecium caudatum juga dapat berkurang disebabkan adanya emigrasi, baik dengan dipanen ataupun pergi dengan sendirinya. Oleh karena itu, laju berkurangnya jumlah Paramecium caudatum berbanding lurus dengan hilangnya Paramecium caudatum karena adanya emigrasi, yaitu

$$\frac{dN_1}{dt} = -H_1 N_1. \tag{3.4}$$

Berdasarkan persamaan (3.1), (3.2), (3.3), dan (3.4) diperoleh laju perubahan *Paramecium caudatum* terhadap waktu, yaitu

$$\frac{dN_1}{dt} = r_1 N_1 \left( 1 - \frac{N_1}{L} \right) - b_1 N_2 \left( N_1 - k \right) - H_1 N_1. \tag{3.5}$$

# 3.1.2. Laju Perubahan Didinium nasutum (Predator)

Banyaknya *Didinium nasutum* dapat berkurang disebabkan kematian alami dinyatakan sebagai

$$\frac{dN_2}{dt} = -r_2 N_2 \tag{3.6}$$

dimana  $N_2$  adalah banyaknya populasi *Didinium nasutum* dan  $r_2$  menyatakan tingkat kematian alami *Didinium nasutum*.

Didinium nasutum hanya dapat bereproduksi jika mendapatkan makanan berupa Paramecium caudatum. Oleh karena itu, interaksi antara Paramecium caudatum dan Didinium nasutum menyebabkan jumlah Didinium nasutum bertambah, sehingga laju perubahan Didinium nasutum berbanding lurus dengan tingkat interaksi antara Paramecium caudatum dan Didinium nasutum, yaitu

$$\frac{dN_2}{dt} = b_2 N_1 N_2. {(3.7)}$$

dengan  $b_2$  menyatakan tingakat pertumbuhan *Didinium* nasutum akibat interaksi antara *Didinium nasutum* dan *Paramecium caudatum*.

Jika k adalah banyaknya individu *Paramecium caudatum* yang berlindung, yaitu aman dari *Didinium nasutum*, maka *Didinium nasutum* bisa menyerang *Paramecium caudatum* sebanyak ( $N_1 - k$ ). Oleh karena itu, persamaan (3.7) berubah menjadi

$$\frac{dN_2}{dt} = b_2 N_2 (N_1 - k). {(3.8)}$$

Banyaknya *Didinium nasutum* dapat berkurang disebabkan adanya emigrasi, baik dengan dipanen ataupun pergi dengan sendirinya, sehingga laju berkurangnya jumlah *Didinium nasutum* berbanding lurus dengan berkurangnya *Didinium nasutum* karena adanya emigrasi, yaitu

$$\frac{dN_2}{dt} = -H_2 N_2. \tag{3.9}$$

Berdasarkan persamaan (3.6), (3.7), (3.8), dan (3.9) diperoleh laju perubahan *Didinium nasutum* terhadap waktu, yaitu

$$\frac{dN_2}{dt} = -r_2N_2 + b_2N_2(N_1 - k) - H_2N_2. \tag{3.10}$$

Secara ringkas model *predator-prey* dengan adanya perlindungan pada *prey* pada *Didinium nasutum* dan *Paramecium caudatum* berdasarkan persamaan (3.5) dan (3.10) dapat ditulis sebagai berikut

$$\frac{dN_1}{dt} = r_1 N_1 \left( 1 - \frac{N_1}{L} \right) - b_1 N_2 \left( N_1 - k \right) - H_1 N_1 
\frac{dN_2}{dt} = -r_2 N_2 + b_2 N_2 \left( N_1 - k \right) - H_2 N_2$$
(3.11)

dimana

 $N_1$  adalah banyaknya individu *Paramecium caudatum* pada waktu t,

 $N_2$  adalah banyaknya individu *Didinium nasutum* pada waktu t,

- $r_1$  adalah tingkat pertumbuhan intrinsik *Paramecium* caudatum per satuan waktu ( $r_1 > 0$ ),
- $r_2$  adalah tingkat kematian alami *Didinium nasutum* per satuan waktu ( $r_2 > 0$ ),
- k adalah banyaknya individu *Paramecium caudatum* yang berlindung pada waktu t ( $k \ge 0$ ),
- L kapasitas maksimum populasi Paramecium caudatum (L>0),
- $b_1$  adalah tingkat kematian *Paramecium caudatum* akibat interaksi antara *Paramecium caudatum* dan *Didinium nasutum* per satuan waktu  $(b_1 \ge 0)$ ,
- $b_2$  adalah tingkat pertumbuhan *Didinium nasutum* akibat interaksi antara *Paramecium caudatum* dan *Didinium nasutum* per satuan waktu  $(b_2 \ge 0)$ ,
- $H_1$  adalah tingkat emigrasi *Paramecium caudatum* per satuan waktu  $(H_1 \ge 0)$ ,
  - adalah tingkat emigrasi *Didinium nasutum* per satuan waktu

$$(H, \ge 0)$$
.

 $H_2$ 

# 3.2. Analisis Model Predator-Prey dengan Perlindungan Prey

# 3.2.1. Titik Kesetimbangan

Berdasarkan Definisi 2.4, titik kesetimbangan sistem (3.11) dapat diperoleh jika  $\frac{dN_1}{dt} = \frac{dN_2}{dt} = 0$ , yaitu

$$\frac{dN_1}{dt} = r_1 N_1 \left( 1 - \frac{N_1}{L} \right) - b_1 N_2 \left( N_1 - k \right) - H_1 N_1 = 0$$
 (3.12)

dan

$$\frac{dN_2}{dt} = -r_2N_2 + b_2N_2(N_1 - k) - H_2N_2 = 0.$$
 (3.13)

Persamaan (3.13) dapat ditulis sebagai

$$0 = N_2 \left( -r_2 + b_2 \left( N_1 - k \right) - H_2 \right).$$

Dengan demikian penyelesaian persamaan (3.13) adalah  $N_2 = 0$  atau  $-r_2 + b_2(N_1 - k) - H_2 = 0$ .

Persamaan (3.12) dapat ditulis sebagai

$$0 = N_1 \left( r_1 \left( 1 - \frac{N_1}{L} \right) - b_1 N_2 - H_1 \right) - b_1 N_2 k.$$
 (3.14)

Jika  $N_2 = 0$  disubstitusikan ke persamaan (3.14), maka diperoleh

$$0 = N_1 \left( r_i \left( 1 - \frac{N_1}{L} \right) - H_1 \right).$$

Dengan demikian diperoleh  $N_1 = 0$  atau  $N_1 = \frac{L}{r_1} (r_1 - H_1)$ .

Berdasarkan uraian di atas diperoleh titik kesetimbangan

$$E_0 = (0,0)$$
 dan  $E_1 = \left(\frac{L}{r_1}(r_1 - H_1), 0\right)$ . Titik kesetimbangan  $E_1$  dijamin ada apabila  $r_1 - H_1 > 0$ .

Persamaan (3.13) juga memberikan solusi persamaan  $0 = -r_2 + b_2N_1 - b_2k - H_2$ , yaitu

$$N_1^* = \frac{r_2 + b_2 k + H_2}{b_2}. (3.15)$$

Kemudian dari persamaan (3.12) diperoleh

$$0 = N_{1} \left( r_{1} \left( 1 - \frac{N_{1}}{L} \right) - H_{1} \right) - b_{1} N_{2} \left( N_{1} - k \right)$$

$$b_{1} N_{2} \left( N_{1} - k \right) = N_{1} \left( r_{1} \left( \frac{L - N_{1}}{L} \right) - H_{1} \right)$$

$$b_{1} N_{2} \left( N_{1} - k \right) = N_{1} \left( \frac{r_{1} L - r_{1} N_{1} - H_{1} L}{L} \right)$$

$$b_{1} N_{2} \left( N_{1} - k \right) = \frac{N_{1}}{L} \left( L \left( r_{1} - H_{1} \right) - r_{1} N_{1} \right)$$

$$N_{2}^{*} = \frac{N_{1}}{L b_{1} \left( N_{1} - k \right)} \left( L \left( r_{1} - H_{1} \right) - r_{1} N_{1} \right).$$

Dengan mensubstitusikan  $N_1^*$  diperoleh  $N_2^*$ , yaitu

$$N_{2}^{*} = \frac{N_{1}}{Lb_{1}\left(N_{1}^{*} - \left(\frac{b_{2}N_{1}^{*} - r_{2} - H_{2}}{b_{2}}\right)\right)\left(L\left(r_{1} - H_{1}\right) - r_{1}N_{1}^{*}\right)}$$

$$N_{2}^{*} = \frac{N_{1}^{*}}{Lb_{1}\left(N_{1}^{*} - N_{1}^{*} + \frac{r_{2}}{b_{2}} + \frac{H_{2}}{b_{2}}\right)}\left(L\left(r_{1} - H_{1}\right) - r_{1}N_{1}^{*}\right)}$$

$$N_{2}^{*} = \frac{N_{1}^{*}}{\frac{Lb_{1}}{b_{2}}\left(r_{2} + H_{2}\right)}\left(L\left(r_{1} - H_{1}\right) - r_{1}N_{1}^{*}\right)}$$

$$N_{2}^{*} = \frac{b_{2}N_{1}^{*}}{b_{1}L\left(r_{2} + H_{2}\right)}\left(L\left(r_{1} - H_{1}\right) - r_{1}N_{1}^{*}\right).$$

Jadi diperoleh titik kesetimbangan ke-tiga, yaitu  $E_2$  ( $N_1^*, N_2^*$ ). Titik kesetimbangan  $E_2$  ada jika  $r_1 - H_1 > 0$  dan  $L(r_1 - H_1) - r_1 N_1^* > 0$ .

# 3.2.2. Kestabilan Titik Kesetimbangan

Sistem (3.11) merupakan suatu sistem otonomus nonlinear. Dengan memisalkan sistem (3.11) sebagai

$$\begin{cases} \frac{\partial N_1}{\partial t} = f(N_1, N_2) \\ \frac{\partial N_2}{\partial t} = g(N_1, N_2) \end{cases}$$

maka dalam menentukan kestabilan lokal titik kesetimbangannya dilakukan proses linearisasi untuk sistem (3.11) menggunakan matriks Jacobi, yaitu

$$J(N_{1}, N_{2}) = \begin{bmatrix} \frac{\partial f(N_{1}, N_{2})}{\partial N_{1}} & \frac{\partial f(N_{1}, N_{2})}{\partial N_{2}} \\ \frac{\partial g(N_{1}, N_{2})}{\partial N_{1}} & \frac{\partial g(N_{1}, N_{2})}{\partial N_{2}} \end{bmatrix}$$

$$= \begin{bmatrix} r_{1} - 2r_{1} \frac{N_{1}}{L} - b_{1}N_{2} - H_{1} & -b_{1}N_{1} + b_{1}k \\ b_{2}N_{2} & -r_{2} + b_{2}N_{2} - b_{2}k - H_{2} \end{bmatrix}.$$
(3.16)

Nilai eigen matriks Jacobi tersebut merupakan acuan dalam menentukan kestabilan titik kesetimbangan. Berdasarkan persamaan (3.16) maka nilai eigen tersebut diperoleh melalui

$$\det (J(N_1^*, N_2^*) - \lambda I) = 0$$
 (3.17)

dimana  $(N_1^*, N_2^*)$  merupakan titik kesetimbangan.

# 3.2.2.1. Kestabilan Titik Kesetimbangan $E_0$

Akan diperiksa jenis kestabilan  $E_0$  (0,0) dengan menentukan nilai eigen J ( $E_0$ ), yaitu

$$J(E_0) = \begin{bmatrix} r_1 - H_1 & b_1 k \\ 0 & -r_2 - b_2 k - H_2 \end{bmatrix}.$$

Karena  $J(E_0)$  adalah matriks segitiga atas, maka jelas bahwa nilai eigennya adalah  $\lambda_{1,1} = r_1 - H_1$  dan  $\lambda_{1,2} = -r_2 - b_2 k - H_2$ .

Jika  $r_1 - H_1 < 0$ , maka diperoleh nilai eigen  $\lambda_{1,1}$  dan  $\lambda_{1,2}$  negatif. Jadi titik kesetimbangan  $E_0$  adalah stabil asimtotik lokal jika  $r_1 - H_1 < 0$ .

Berdasarkan hasil pembahasan di atas, dapat disusun Lemma sebagai berikut.

**Lemma 3.1.** Jika titik kesetimbangan  $E_0$  adalah stabil asimtotik lokal, maka titik kesetimbangan  $E_1$  dan  $E_2$  tidak ada.

**Bukti.** Diketahui titik kesetimbangan  $E_0$  stabil asimtotik lokal jika  $r_1 - H_1 < 0$ .

Sedangkan syarat eksistensi titik kesetimbangan  $E_1$  adalah  $r_1 - H_1 > 0$  dan syarat eksistensi titik kesetimbangan  $E_2$  adalah  $r_1 - H_1 > 0$  dan  $L(r_1 - H_1) - r_1 N_1^* > 0$ .

Dengan demikian jika  $E_0$  stabil asimtotik lokal, maka titik kesetimbangan  $E_1$  dan  $E_2$  tidak ada.

# 3.2.2.2. Kestabilan Titik Kesetimbangan $E_1$

Dengan mensubstitusikan  $E_1$   $\left(\frac{L}{r}(r_1-H_1),0\right)$  dengan

 $r_1 - H_1 > 0$  ke dalam matriks Jacobi diperoleh

$$J(E_{1}) = \begin{bmatrix} -(r_{1} - H_{1}) & b_{1} \left( \frac{L}{r_{1}} (r_{1} - H_{1}) - k \right) \\ 0 & -r_{2} - b_{2}k - H_{2} + \frac{b_{2}L}{r_{1}} (r_{1} - H_{1}) \end{bmatrix}.$$
Nilai eigennya adalah  $\lambda_{2,1} = -(r_{1} - H_{1})$ 

$$\lambda_{2,2} = -r_2 - b_2 k - H_2 + \frac{b_2 L}{r_1} (r_1 - H_1).$$

Jika syarat eksistensi  $r_1 - H_1 > 0$ , maka nilai eigen  $\lambda_{2,1}$  negatif. Titik kesetimbangan  $E_1$  akan stabil asimtotik lokal jika  $\lambda_{2,2}$ juga bernilai negatif, yaitu

$$-r_2 - b_2 k - H_2 + \frac{b_2 L}{r_1} (r_1 - H_1) < 0$$

$$-r_{2} - H_{2} + b_{2} \left(\frac{L}{r_{1}} (r_{1} - H_{1}) - k\right) < 0$$

$$b_{2} \left(\frac{L}{r_{1}} (r_{1} - H_{1}) - k\right) < r_{2} + H_{2}$$

$$b_{2} \left(\frac{L(r_{1} - H_{1}) - r_{1}k}{r_{1}}\right) < r_{2} + H_{2}$$

$$b_{2} < \frac{r_{1} (r_{2} + H_{2})}{L(r_{1} - H_{1}) - r_{1}k}.$$

Dengan demikian titik kesetimbangan  $E_1$  bersifat stabil asimtotik lokal jika  $b_2 < \frac{r_1(r_2 + H_2)}{L(r_1 - H_1) - r_1 k}$ .

Berdasarkan uraian di atas, dapat disusun Lemma sebagai berikut.

**Lemma 3.2.** Jika titik kesetimbangan  $E_1$  adalah stabil asimtotik lokal, maka titik kesetimbangan  $E_2$  tidak ada.

**Bukti.** Titik kesetimbangan  $E_1$  stabil asimtotik lokal jika syarat eksistensi  $r_1 - H_1 > 0$  dan  $b_2 < \frac{r_1(r_2 + H_2)}{L(r_1 - H_1) - r_1 k}$ .

Eksistensi titik kesetimbangan  $E_2$  dijamin ada apabila  $r_1 - H_1 > 0$  dan  $L(r_1 - H_1) - r_1 N_1^* > 0$ .

Syarat kestabilan titik kesetimbangan  $E_1$  dapat ditulis dalam bentuk

$$b_{2} < \frac{r_{1}(r_{2} + H_{2})}{L(r_{1} - H_{1}) - r_{1}k}$$

$$L(r_{1} - H_{1}) - r_{1}k < \frac{r_{1}(r_{2} + H_{2})}{b_{2}}$$

$$L(r_{1} - H_{1}) - r_{1}k - \frac{r_{1}(r_{2} + H_{2})}{b_{2}} < 0$$

$$\frac{b_{2}(L(r_{1} - H_{1}) - r_{1}k) - r_{1}(r_{2} + H_{2})}{b_{2}} < 0$$

$$\frac{b_{2}L(r_{1}-H_{1})-b_{2}r_{1}k-r_{1}(r_{2}+H_{2})}{b_{2}}<0$$

$$\frac{b_{2}L(r_{1}-H_{1})-r_{1}(r_{2}+b_{2}k+H_{2})}{b_{2}}<0$$

$$L(r_{1}-H_{1})-r_{1}\left(\frac{r_{2}+b_{2}k+H_{2}}{b_{2}}\right)<0$$

$$L(r_{1}-H_{1})-r_{1}N_{1}^{*}<0.$$

Berdasarkan uraian Lemma di atas terbukti bahwa syarat kestabilan titik kesetimbangan  $E_1$  kontradiksi dengan syarat eksistensi titik kesetimbangan  $E_2$ . Dengan demikian jika titik kesetimbangan  $E_1$  adalah stabil asimtotik lokal, maka titik kesetimbangan  $E_2$  tidak ada.

# 3.2.2.3. Kestabilan Titik Kesetimbangan $E_2$

Substitusi titik kesetimbangan  $E_2$   $(N_1^*, N_2^*)$  ke dalam matriks (3.16) menghasilkan

$$J(E_{2}) = \begin{bmatrix} -\frac{r_{1}N_{1}^{*}}{L} - \frac{b_{1}kN_{2}^{*}}{N_{1}^{*}} & -b_{1}(N_{1}^{*} - k) \\ b_{2}N_{2}^{*} & 0 \end{bmatrix}.$$

Nilai eigen dari matriks J ( $E_2$ ) dapat diperoleh dengan menyelesaikan persamaan karakteristik

$$\det (J(E_{2}) - \lambda I) = \left| \left( -\frac{r_{1}N_{1}^{*}}{L} - \frac{b_{1}kN_{2}^{*}}{N_{1}^{*}} \right) - \lambda - b_{1}(N_{1}^{*} - k) \right| = 0$$

$$b_{2}N_{2}^{*} - \lambda$$

$$\left( \left( -\frac{r_{1}N_{1}^{*}}{L} - \frac{b_{1}kN_{2}^{*}}{N_{1}^{*}} \right) - \lambda \right) (-\lambda) - (b_{2}N_{2}^{*}) (-b_{1}(N_{1}^{*} - k)) = 0.$$

Persamaan di atas dapat ditulis dalam bentuk

$$\lambda^2 + A\lambda + B = 0 \tag{3.18}$$

dimana

$$A = \frac{r_1 N_1^*}{L} + \frac{b_1 k N_2^*}{N_1^*}, (>0),$$

$$B = b_2 N_2^* b_1 (N_1^* - k), (> 0).$$

Dari persamaan (3.18) dapat diperoleh nilai eigen  $\lambda_{3,1}$  dan  $\lambda_{3,2}$ , yaitu

$$\lambda_{3.1,3.2} = \frac{-A \pm \sqrt{A^2 - 4(1)(B)}}{2(1)}$$

$$\lambda_{3.1,3.2} = \frac{-\left(\frac{r_1 N_1^*}{L} + \frac{b_1 k N_2^*}{N_1^*}\right) \pm \sqrt{\left(\frac{r_1 N_1^*}{L} + \frac{b_1 k N_2^*}{N_1^*}\right)^2 - 4\left(b_2 N_2^* b_1 \left(N_1^* - k\right)\right)}}{2}.$$
(3.19)

Jika 
$$\left(\frac{r_1 N_1^*}{L} + \frac{b_1 k N_2^*}{N_1^*}\right)^2 > 4 \left(b_2 N_2^* b_1 \left(N_1^* - k\right)\right)$$
, maka pada bagian

akar persamaan (3.19) bernilai riil, sehingga nilai eigen  $\lambda_{3.1}$  dan  $\lambda_{3.2}$  bernilai negatif dan titik kesetimbangannya adalah stabil asimtotik lokal. Sedangkan jika  $\left(\frac{r_1N_1^*}{L} + \frac{b_1kN_2^*}{N^*}\right)^2 < 4\left(b_2N_2^*b_1\left(N_1^* - k\right)\right)$ , maka pada bagian akar

$$\begin{pmatrix} L & N_1^* \end{pmatrix}$$
 bernilai imajiner dan pada bagian riilnya

tetap bernilai negatif, sehingga titik kesetimbangannya adalah stabil asimtotik lokal.

Berdasarkan hasi pembahasan di atas, dapat disusun Lemma sebagai berikut.

**Lemma 3.3.** Titik kesetimbangan  $E_2$  dijamin ada dan stabil asimtotik lokal jika memenuhi

1) 
$$r_1 - H_1 > 0$$
,

2) 
$$b_2 < \frac{r_1(r_2 + H_2)}{L(r_1 - H_1) - r_1 k}$$
.

# 3.2.2.4. Kestabilan Global

Akan dibuktikan bahwa sistem (3.11) adalah stabil asimtotik global karena tidak memiliki orbit periodik sesuai dengan kriteria Dulac. Jika titik kesetimbangan  $E_2$  stabil asimtotik lokal, maka sesuai dengan Teorema Poincare-Bendixson titik kesetimbangan tersebut tidak memiliki orbit periodik.

Teorema 3.1. Sistem (3.11) tidak memiliki orbit periodik.

**Bukti.** Misalkan 
$$h(N_1, N_2) = \frac{1}{N_1 N_2}$$
.

Menurut kriteria Dulac sistem (3.11) tidak memiliki orbit periodik jika  $\frac{d(fh)}{dN_1} + \frac{d(gh)}{dN_2} \neq 0$ .

Berikut akan diperiksa nilai  $\frac{d(fh)}{dN_1} + \frac{d(gh)}{dN_2}$ . Perhatikan bahwa

$$\begin{split} \frac{d(fh)}{dN_1} &= \frac{d}{dN_1} \left( \left( \frac{1}{N_1 N_2} \right) \left( r_1 N_1 \left( 1 - \frac{N_1}{L} \right) - b_1 N_2 \left( N_1 - k \right) - H_1 N_1 \right) \right) \\ &= \frac{d}{dN_1} \left( \frac{r_1}{N_2} - \frac{r_1 N_1}{L N_2} - b_1 + \frac{b_1 k}{N_1} + \frac{H_1}{N_2} \right) \\ &= -\frac{r_1 N_1}{L N_2} - \frac{b_1 k}{N_1^2} \end{split}$$

dan

$$\frac{d(gh)}{dN_2} = \frac{d}{dN_2} \left( \left( \frac{1}{N_1 N_2} \right) \left( -r_2 N_2 + b_2 N_2 \left( N_1 - k \right) - H_2 N_2 \right) \right)$$

$$= \frac{d}{dN_2} \left( -\frac{r_2}{N_1} + b_2 - \frac{b_2 k}{N_1} - \frac{H_2}{N_1} \right)$$

$$= 0.$$

sehingga diperoleh 
$$\frac{d(fh)}{dN_1} + \frac{d(gh)}{dN_2} = -\left(\frac{r_1N_1}{LN_2} + \frac{b_1k}{N_1^2}\right) \neq 0, \quad \text{jika}$$

 $N_1 > 0 \text{ dan } N_2 > 0.$ 

Jadi terbukti bahwa sistem (3.11) tidak memilki orbit, sehingga sistem (3.11) adalah stabil asimtotik global.

Berdasarkan uraian Lemma 3.1, Lemma 3.2, Lemma 3.3, dan Teorema 3.1 sistem (3.11) memiliki sifat-sifat seperti dalam Tabel.3.1.

**Tabel.3.1.** Sifat-sifat Titik kesetimbangan sistem (3.11)

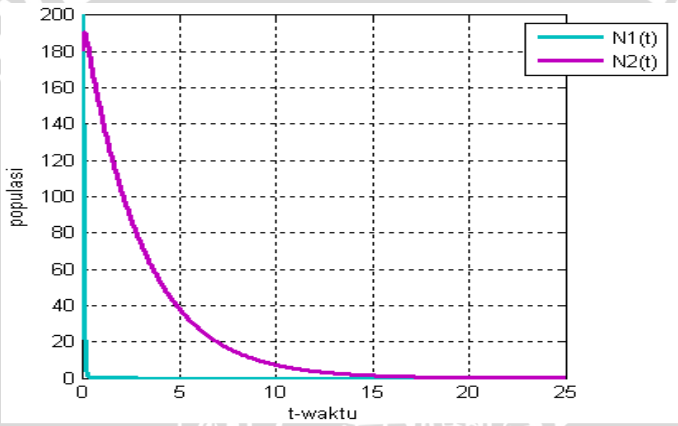
| Tubelisii Siiat Siiat Titik kesetiilibangan sistem (5.11) |  |  |                               |  |
|---|--|--|-------------------------------|--|
| Titik   | Syarat   | Syarat   | Jenis                         |  |
| Kesetimbanga  | Eksistensi   | Kestabilan   | Kestabila                     |  |
| n   |  |  | n                             |  |
|   |  | $r_1 - H_1 < 0$  | stabil                        |  |
| $E_0(0,0)$  |  | B/ 69 _ 1 6  | asimtotik                     |  |
|   |  | MALCY S  | lokal                         |  |
| $E_1\left(\frac{L}{r_1}(r_1-H_1),0\right)$                | $r_i - H_i > 0$  | $r_{1} - H_{1} > 0$ $dan$ $b_{2} < \frac{r_{1}(r_{2} + H_{2})}{L(r_{1} - H_{1}) - r_{1}k}$ | stabil<br>asimtotik<br>lokal  |  |
| $E_2\left(N_1^*,N_2^* ight)$                              | $r_{1} - H_{1} > 0$ $dan$ $b_{2} > \frac{r_{1}(r_{2} + H_{2})}{L(r_{1} - H_{1}) - r_{1}k}$ | $r_{1} - H_{1} > 0$ $dan$ $b_{2} > \frac{r_{1}(r_{2} + H_{2})}{L(r_{1} - H_{1}) - r_{1}k}$ | stabil<br>asimtotik<br>global |  |

# 3.3. Simulasi Numerik

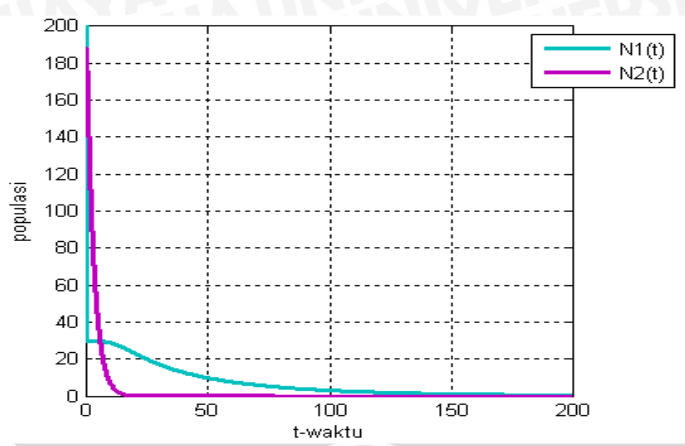
Berikut ini akan dilakukan simulasi numerik model predator-prey dengan mempertimbangkan adanya perlindungan pada prey (k). Perlindungan pada prey adalah banyaknya Paramecium caudatum yang berlindung dari

Didinium nasutum. Berikut akan dilakukan simulasi numerik model *predator-prey* yang ditunjukkan oleh sistem (3.11) dengan metode Runge Kutta orde empat menggunakan *software* Matlab.

Berdasarkan Pembahasan sebelumnya, ketika  $r_1 - H_1 < 0$  sistem (3.11) memiliki titik kesetimbangan  $E_0$  (0,0) yang stabil. Dalam simulasi ini digunakan parameter  $r_1 = 0.18$ ,  $r_2 = 0.3$ , L = 300,  $b_1 = 0.1$ ,  $b_2 = 0.01$ ,  $H_1 = 0.2$ , dan  $H_2 = 0.03$ , sehingga diperoleh  $r_1 - H_1 = -0.02 < 0$ .

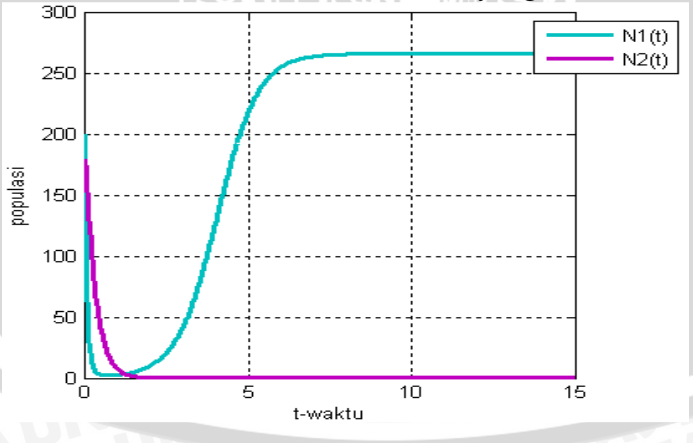


**Gambar 3.2.** Solusi numerik menuju  $E_0(0,0)$  dengan k=0, untuk nilai awal (200,180).

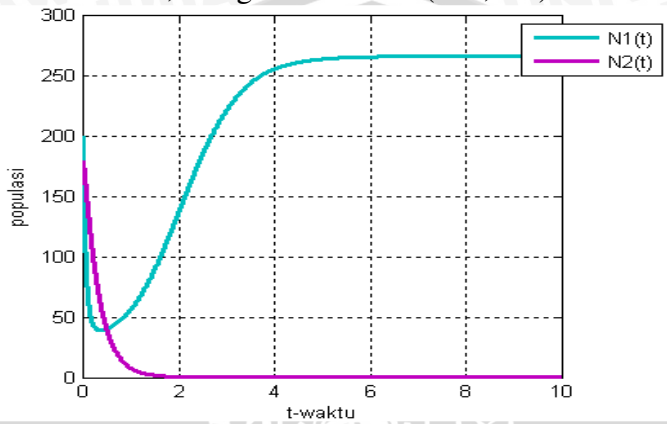


**Gambar 3.3.** Solusi numerik menuju  $E_0(0,0)$  dengan k = 30, dengan nilai awal (200,180).

Simulasi dengan k=0 dan k=30 yang ditunjukkan oleh Gambar 3.2 dan Gambar 3.3 menunjukkan bahwa simulasi numerik konvergen ke  $E_0$ . Titik kesetimbangan  $E_0$  adalah stabil, sehingga kedua populasi tersebut habis dan tidak ada lagi interaksi antara *Didinium nasutum* dan *Paramecium caudatum*. Ketika tidak ada perlindungan pada *Paramecium caudatum*, maka populasi *Didinium nasutum* dan *Paramecium caudatum* akan habis. Di sisi lain, jika ada beberapa perlindungan pada *Paramecium caudatum*, maka kedua populasi tersebut akan habis dalam waktu yang lebih lama.



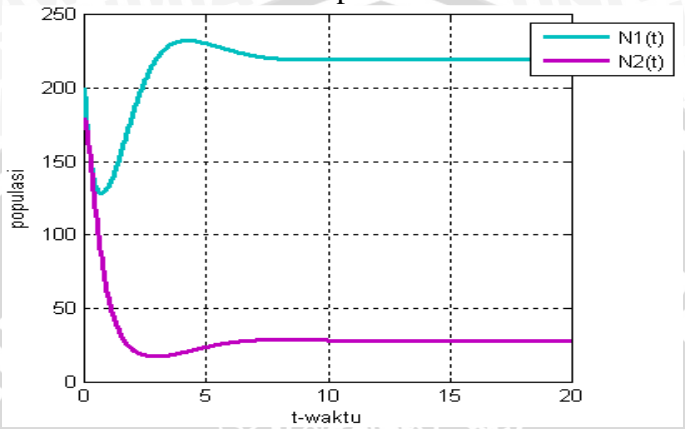
**Gambar 3.4.** Solusi numerik menuju  $E_1$  (266.667,0) dengan k = 0, dengan nilai awal (200,180).



**Gambar 3.5.** Solusi numerik menuju  $E_1$  (266.667,0) dengan k = 30, dengan nilai awal (200,180).

Untuk 
$$r_1 - H_1 > 0$$
 dan  $b_2 < \frac{r_1(r_2 + H_2)}{L(r_1 - H_1) - r_1 k}$ , diperoleh

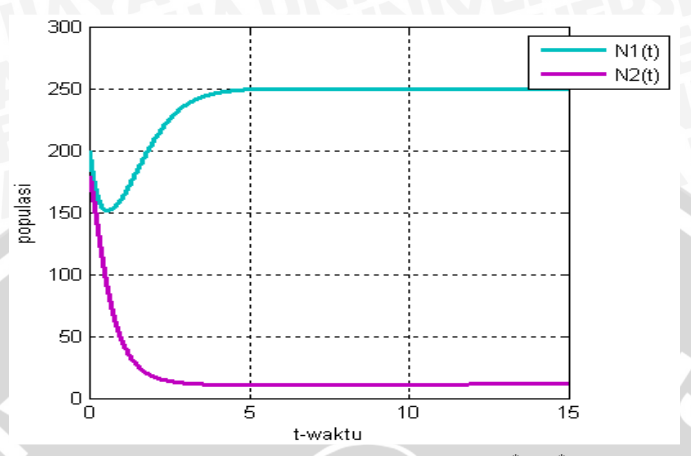
titik kesetimbangan  $E_1$  yang stabil. Dalam simulasi berikut digunakan parameter  $r_1 = 1.8$ ,  $r_2 = 3$ , L = 300,  $b_1 = 0.1$ ,  $b_2$  $H_1 = 0.2$ , dan  $H_2 = 0.3$ , sehingga diperoleh titik = 0.01.  $E_1 = (266.667,0)$ , nilai  $r_1 - H_1 = 1.6 > 0$ ,  $b_2 =$ kesetimbangan 0.0124 untuk k = 0, dan  $b_2 = 0.0139$  untuk k = 30. Simulasi dengan k = 0 dan k = 30 yang ditunjukkan oleh Gambar 3.4 Gambar 3.5 menunjukkan bahwa simulasi numerik konvergen ke  $E_1$ . Titik kesetimbangan  $E_1$  adalah stabil, sehingga populasi Didinium nasutum habis dan tidak ada lagi interaksi antara Didinium nasutum dan Paramecium caudatum. Tanpa adanya perlindungan yang ditunjukkan pada Gambar 3.4, maka jumlah *Didinium nasutum* berkurang mengikuti berkurangnya jumlah Paramecium caudatum mendekati nol. Selanjutnya jumlah Paramecium caudatum akan bertambah pesat karena jumlah Didinium nasutum habis. Di pihak, jika *Paramecium caudatum* lain diberikan perlindungan seperti pada Gambar 3.5, maka populasi Didinium nasutum berkurang menuju nol dan populasi Paramecium caudatum lebih cepat bertambah.



**Gambar 3.6.** Solusi numerik menuju  $E_2(N_1^*, N_2^*)$  dengan k = 0, dengan nilai awal (200,180).

Untuk 
$$r_1 - H_1 > 0 \text{ dan } b_2 > \frac{r_1(r_2 + H_2)}{L(r_1 - H_1) - r_1 k}$$
, sistem (3.11)

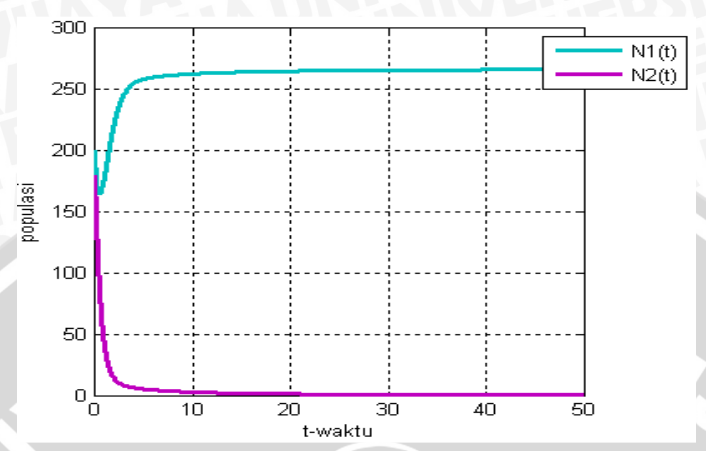
memiliki titik kesetimbangan  $E_2$  ( $N_1^*, N_2^*$ ). Berikut adalah simulasi numerik untuk k=0 menggunakan parameter  $r_1=1.8$ ,  $r_2=3$ , L=300,  $b_1=0.01$ ,  $b_2=0.015$ ,  $H_1=0.2$ , dan  $H_2=0.3$ , sehingga diperoleh titik kesetimbangan  $E_2=(220,28)$ , nilai  $r_1-H_1=1.6>0$ , dan  $b_2=0.0124$ . Sedangkan untuk k=30 diperoleh titik kesetimbangan  $E_2=(250,11.36)$ , nilai  $r_1-H_1=1.6>0$ , dan  $b_2=0.0139$ . Solusi pada Gambar 3.6 dan Gambar 3.7 menunjukkan bahwa hasil simulasi numerik konvergen ke  $E_2$  yang menunjukkan bahwa titik kesetimbangan  $E_2$  stabil, sehingga berlangsung interaksi yang berkelanjutan antara Didinium nasutum dan Paramecium caudatum.



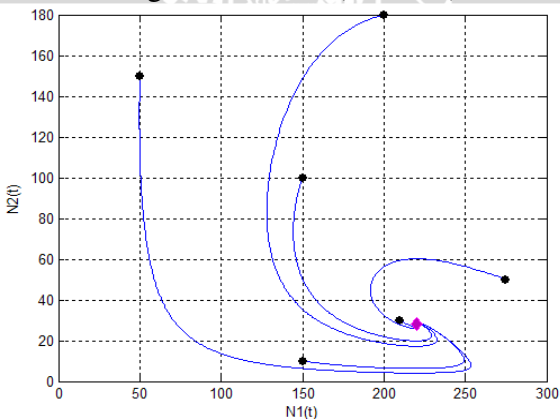
**Gambar 3.7.** Solusi numerik menuju  $E_2(N_1^*, N_2^*)$  dengan k = 30, dengan nilai awal (200,180).

Selanjutnya pada Gambar 3.8 dengan k = 50 diperoleh nilai  $b_2 = 0.0152$  yang menunjukkan bahwa grafik tidak stabil menuju  $E_2$  ( $N_1^*, N_2^*$ ). Hal ini dikarenakan nilai  $b_2$  tidak memenuhi syarat kestabilan karena  $b_2 = 0.015$   $< \frac{r_1(r_2 + H_2)}{L(r_1 - H_1) - r_1 k} = 0.0152$ .

Pada Gambar 3.6 dengan k = 0, maka jumlah *Didinium* mengikuti jumlah Paramecium caudatum nasutum interaksi terus berlanjut. Di sisi lain, jika k = 30 seperti pada Gambar 3.7, maka interaksi antar kedua populasi tersebut terus dimana jumlah Didinium berlanjut, nasutum berkurang dan jumlah Paramecium caudatum akan lebih besar. Di pihak lain, jika diberikan perlindungan yang cukup besar seperti pada Gambar 3.8, yaitu k = 50, maka jumlah Didinium nasutum akan terus berkurang menuju nol karena menemukan makanannya, tidak dapat sehingga jumlah Paramecium caudatum bertambah dengan pesat.



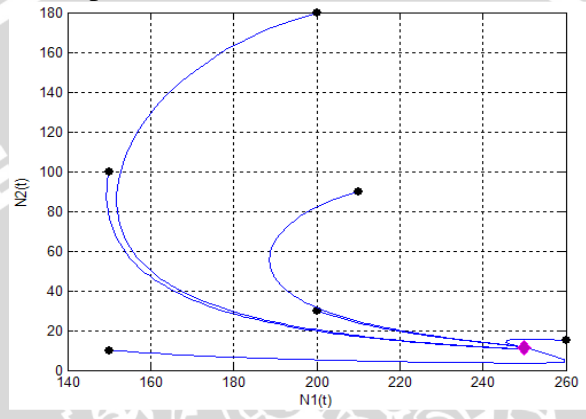
**Gambar 3.8.** Solusi numerik menuju  $E_2(N_1^*, N_2^*)$  dengan k = 50, dengan nilai awal (200,180).



**Gambar 3.9.** Potret phase  $(N_1^*, N_2^*)$  dengan k = 0 dan beberapa nilai awal yang berbeda. Semua orbit menuju  $E_2$  (220,28).

Berdasarkan Gambar 3.9, untuk beberapa syarat awal yang berbeda, semua orbit pada oktan pertama tertarik ke titik kesetimbangan  $E_2 = (220,28)$ . Jadi, titik kesetimbangan  $E_2$  dengan k = 0 stabil secara global pada oktan pertama dengan parameter-parameter tersebut.

Selanjutnya pada Gambar 3.10, untuk k=30 dan beberapa syarat awal yang berbeda, semua orbit pada oktan pertama tertarik ke titik kesetimbangan  $E_2 = (250,11.36)$ . Jadi, titik kesetimbangan  $E_2$  stabil secara global pada oktan pertama dengan parameter-parameter tersebut.



**Gambar 3.10.** Potret phase  $(N_1^*, N_2^*)$  dengan k = 30 dan beberapa nilai awal yang berbeda. Semua orbit menuju  $E_2$  (250,11.36).

## BAB IV KESIMPULAN

Berdasarkan pembahasan skripsi ini, dapat ditarik kesimpulan sebagai berikut

- 1. Dengan menggunakan diagram kompartemen, diperoleh model predator-prey dengan perlindungan prey yang merupakan sistem otonomus nonlinear dengan dua variabel tak bebas  $N_1$  dan  $N_2$ , dan variabel bebas t. Parameter-parameter yang berpengaruh di antaranya tingkat pertumbuhan intrinsik prey, kematian alami predator, kapasitas maksimum, tingkat interaksi antara prey dan predator, tingkat emigrasi, dan banyaknya prey yang berlindung.
- 2. Model *predator-prey* dengan perlindungan *prey* mempunyai tiga titik kesetimbangan, yaitu titik titik kesetimbangan  $E_0$ ,  $E_1$ , dan  $E_2$ .
- 3. Jika titik kesetimbangan  $E_0$  bersifat stabil asimtotik lokal, maka titik kesetimbangan  $E_1$  dan  $E_2$  tidak ada, sedangkan jika titik kesetimbangan  $E_1$  bersifat stabil asimtotik lokal, maka titik kesetimbangan  $E_2$  tidak ada. Dan jika titik kesetimbangan  $E_2$  bersifat stabil asimtotik global, maka titik kesetimbangan  $E_0$  dan  $E_1$  tidak stabil.

# **DAFTAR PUSTAKA**

- Boyce, W.E. dan R.C. DiPrima. 2005. *Elementary Differential Equations and Boundary Value Problems*. Seventh edition, John Willey & Sons, Inc. United State of America.
- Chattopadhyay, J. 2000. A Predator-Prey Model with Some Cover on Prey Species. Embryology Research Unit. India.
- Finizio dan G. Ladas. 1982. Persamaan Differensial Biasa dengan Penerapan Modern. Edisi ke-dua. Terjemahan Widiarti Santoso. Erlangga. Jakarta.
- Gause, G.F. 1934. *The Struggle for Existence*. University of Moscow. Russia.
- Murray, J.D. 1993. *Mathematical Biology*. Applied Mathematics Department. University of Washington.
- Naggle, R.K. dan E.S. Saff. 1993. Fundamental of Differential Equation and Boundary Value Problem. Addison-Wesley Publishing Company. USA.
- Richard, D. 2002. Advanced Mathematics Method with Maple. Cambridge University Press: UK.
- Robinson, J.C. 2004. An Introduction to Ordinary Differential Equations. Cambridge University Press. New York.

#### LAMPIRAN

Lampiran 1. Listing Program untuk Simulasi Numerik Titik Kesetimbangan pada Model Predator-Prey dengan Metode Runge Kutta Orde Empat Menggunakan Software Matlab 7.0

```
BR4W
function dy=PP(t,y);
r1 = 1.8;
r2 = 3;
L = 300;
b1 = 0.01;
b2 = 0.1;
c1 = 0.2;
c2 = 0.3;
k = 0;
dy(1) = r1*y(1)*(1-y(1)/L)-b1*y(2)*(y(1)-k)-c1*y(1);
dy(2) = -r2*y(2) + b2*y(2)*(y(1)-k)-c2*y(2);
function [T,Z]=rks4(PP,a,b,Za,M)
h=(b-a)/M;
T=zeros(1,M+1);
Z=zeros(M+1,length(Za));
T=a:h:b;
Z(1,:) = Za;
for j=1:M
    k1=h*feval(PP,T(j),Z(j,:));
    k2=h*feval(PP,T(j)+h/2,Z(j,:)+k1/2);
    k3=h*feval(PP,T(j)+h/2,Z(j,:)+k2/2);
    k4=h*feval(PP,T(j)+h,Z(j,:)+k3);
    Z(\dot{\gamma}+1,:)=Z(\dot{\gamma},:)+(k1+2*k2+2*k3+k4)/6;
end;
[t y]=rks4('PP',0,25,[200 180],500);
figure(1);
```

```
plot(t,y,'linewidth',1.5);
hold on;
xlabel('t-waktu');
ylabel('populasi');
                    AS BRAWIUSE
grid on
axis square
legend('N1(t)','N2(t)');
figure(2);
plot(y(:,1),y(:,2));
hold on
plot (y(1,1), y(1,2), 'k.');
plot(y(500,1),y(500,2),'md');
hold off
hold on
xlabel('N1(t)');
ylabel('N2(t)');
grid on
```